

کنترل نسبت‌های وظیفه در مبدل‌های سه فازه چند سطحی بمنظور کاهش تلفات سوئیچنگ

محمد جعفر مجیبان^۱، محمد توکلی بینا^۲

^۱ دانشجوی دکتری مهندسی برق، گروه قدرت، دانشگاه صنعتی خواجه نصیرالدین طوسی، mojibian@ee.kntu.ac.ir

^۲ استاد دانشکده مهندسی برق، گروه قدرت، دانشگاه صنعتی خواجه نصیرالدین طوسی، tavakoli@eetd.kntu.ac.ir

(تاریخ دریافت مقاله ۱۳۹۴/۹/۱، تاریخ پذیرش مقاله ۱۳۹۴/۱۱/۰۶)

چکیده: مبدل‌های چند سطحی با تولید تعداد سطوح زیاد در ولتاژ خروجی قادر به تولید ولتاژهای AC با کیفیت بالا و THD کم می‌باشند. از این رو می‌توان آن‌ها را بعنوان ولتاژ ژنراتورهای با کیفیت در کاربردهای شبکه و سیستم‌های درایو به خوبی بکار گرفت. تاکنون تعداد زیادی تکنیک‌های مدولاسیون جدید بمنظور پشتیبانی از رشد فرآینده تولیدکننده تولیدکننده مدلسازی های مبدل‌های چند سطحی معرفی شده‌اند که هر کدام از این روش‌ها دارای مزایا و معایب خاص خود می‌باشند. این مقاله به ارائه یک تکنیک مدولاسیون جدید سینوسی برای کاربرد در مبدل‌های چند سطحی دیفرانسیلی می‌پردازد. این تکنیک مدولاسیون بهینه بر مبنای مدلسازی مبدل‌های چند سطحی با یک مبدل buck چند سطحی بنا شده است. با کاربرد معادلات پایه حاکم بر این مبدل و حل مساله بهینه سازی عرض پالس‌های مورد نیاز برای سوئیچنگ‌های DC مبدل برای سطوح مختلف از ولتاژ خروجی کنترل می‌شود. کنترل نسبت‌های وظیفه بصورت بهینه ضمن افزایش ضربی بهره لینک مدولاسیون بهینه پیشنهادی کاربرد روش تاثیر مثبتی بر کاهش تلفات سوئیچنگ دارد. بمنظور ارزیابی تکنیک ارائه شده، روش مدولاسیون پیشنهادی بهمراه سه روش مدولاسیون معمول بر روی یک نمونه مبدل ۱۶ سطحی سه فازه پیاده‌سازی شده است. تحلیل نتایج نشان دهنده این موضوع می‌باشد که کاربرد روش مدولاسیون بهینه پیشنهادی باعث کاهش تلفات، بهبود THD و افزایش بهره لینک DC می‌شود.

کلمات کلیدی: مبدل‌های چند سطحی، ساختارهای کاهش یافته، کنترل نسبت‌های وظیفه، مدولاسیون افست ثابت، تزریق هارمونیک.

Duty Cycles Control in Three-phase Multilevel Converters for Switching Loss Reduction

Mohammad Jafar Mojibian, Mohammad Tavakoli Bina

Abstract: There are various modulation techniques for different topologies of multilevel converters that every technique has its own advantages as well as disadvantages in practice. This paper develops a new efficient modulating technique for three-phase differential multilevel converters that is based on using the concept of offset optimization and duty cycles control in a simple buck converter. The proposed modulation technique with achievement to full DC utilization reduces switching losses. To evaluate the suggested method, the modulation technique with three other conventional methods is implemented on an asymmetric 16-level converter. Comparative analysis for the experiments confirms that applying the presented technique on multilevel converter leads lower switching losses, better THD as well as optimal usage of the DC-link.

Keywords: multilevel converter, reduced structures, duty cycles control, fix offset modulation, harmonic injection.

بیس سینوسی می‌باشد مقایسه شده است. علاوه بر آن روش مدولاسیون پیشنهادی با دیگر روش‌های مدولاسیون چند سطحی مانند SVM چند سطحی و روش تزیریک هارمونیک سوم (THIPWM) مقایسه شده است. بمنظور ارزیابی تکنیک مدولاسیون ارائه شده و مقایسه آن با سایر تکنیک‌ها، یک نمونه آزمایشگاهی از یک مبدل ۱۶ سطحی سه فاز برمنای ساختار کاهش یافته B2 که در [۱۲] به عنوان یک ساختار بهینه کاهش یافته معرفی شده است استفاده شده است. این مبدل با ساختار نامتقار در دو طبقه برای هر فاز طراحی شده است. تحلیل و مقایسه نتایج عملی ثبت شده نشان می‌دهد که تکنیک مدولاسیون پیشنهادی ضمن سادگی در اجرا با داشتن راندمان بالا، THD کم، متوسط فرکانس سوئیچنگ پایین و رسیدن به ضریب بهره لینک DC حداکثری می‌تواند بعنوان یک تکنیک مدولاسیون موثر در مبدل‌های چند سطحی مطرح شود.

۲- مدلسازی مبدل‌های چند سطحی دیفرانسیلی

مبدل buck معمول نشان داده شده در شکل ۱-الف را در نظر بگیرید. بمنظور استفاده از تعدادی منابع ولتاژ پایین تر، بخش DC ورودی این مبدل را می‌توان همانند شکل ۱-ب با تعداد m چاپر دو سطحی جایگزین نمود که دارای نسبت‌های وظیفه ($D(t)$) مشابه می‌باشد. در این فرض تمام منابع چاپرها با هم برابر فرض شده‌اند. همچنین مجموع ولتاژ این منبع‌ها مطابق رابطه (۱) برابر با ولتاژ منبع مبدل شکل ۱-الف یعنی V_{DC} می‌باشد.

$$\begin{aligned} V_1 &= V_i = V_{dc} \quad i=2, \dots, m \\ V_{DC} &= \sum_{i=1}^m V_i = m \times V_{dc} \\ D_1(t) &= D_2(t) = \dots = D_m(t) = D(t) \end{aligned} \quad (1)$$

در صورتی که نسبت وظیفه چاپرها با هم برابر نباشد مبدل شکل ۱-ب قادر به تولید $m+1$ سطح مختلف با پله‌های V_o در طرف V_o می‌باشد. همچنین در صورت برابر نبودن منابع چاپرها می‌توان با انتخاب صحیح سطح ولتاژ منبع‌ها بصورت نامتقار با نسبت دودویی یا سه‌سایی تعداد بیشتری سطح DC در خروجی تولید نمود [۱۲]. بدین ترتیب طرف DC ورودی مبدل شکل ۱-ب تبدیل به یک مبدل چند سطحی می‌شود که قادر به تولید سطوح مثبت ولتاژ بوده و در مبدل‌های DC-AC چندسطحی مبتنی بر منبع ولتاژ مرسوم می‌باشد.

$$\begin{cases} \frac{V_{oN}}{V_{DC}} = D(t) = A \sin(\omega t) + A \\ 0 \leq D(t) \leq 1 \quad \Rightarrow \quad A \leq 0.5 \end{cases} \quad (2)$$

مبدل نشان داده شده در شکل ۱-الف در صورت داشتن نسبت وظیفه مطابق با رابطه (۲) قادر به تولید یک ولتاژ سینوسی با یک مقدار افست DC در خروجی خود با استفاده از روش‌های معمول PWM دو سطحی می‌باشد.

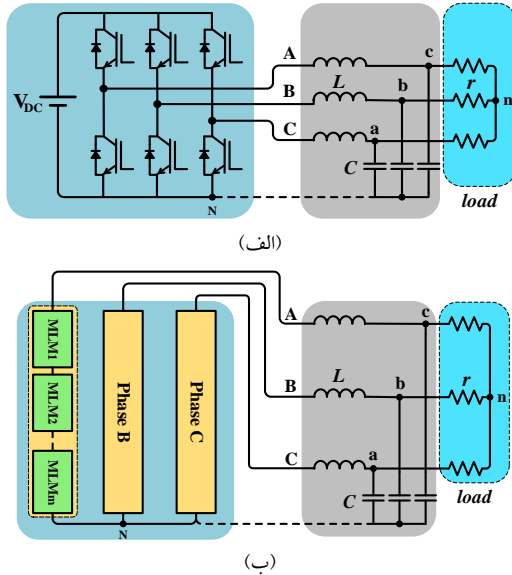
۱- مقدمه

مبدل‌های چند سطحی در کاربردهای مختلف صنعتی و بخصوص در کاربردهای ولتاژ متوسط و بالا در حال توسعه می‌باشند. تپولوژی‌های مختلف چند سطحی زیادی بمنظور رفع محدودیت‌های ولتاژی و جریانی سوئیچ‌های نیمه هادی ارائه شده است که نمونه‌هایی از آن‌ها را می‌توان در مراجع [۵]-[۱] مشاهده نمود. مبدل‌های چند سطحی ضمن رسیدن به سطح ولتاژهای بالا در خروجی، با داشتن تعداد سطوح زیاد، قادر به تولید شکل موج‌هایی با مشخصه‌های هارمونیکی خوب و THD پایین بدون افزایش فرکانس سوئیچنگ یا کاهش توان خروجی مبدل می‌باشند [۳]. مبدل‌های چند سطحی مبتنی بر منبع ولتاژ در بسیاری از کاربردهای صنعتی توان متوسط و بالا مانند سیستم‌های درایو با توان و سرعت بالا، انرژی‌های نو، ادوات FACTS، منابع تغذیه کیفیت بالا، ادوات متصل شونده به شبکه و بسیاری از کاربرهای دیگر قابل استفاده می‌باشند [۷]-[۳]. همچنین مبدل‌های چند سطحی با دستیابی به توان‌های بالا قادر به اتصال منابع تجدید پذیر مانند توربین‌های بادی، پیلهای سوختی و سلول‌های خورشیدی به شبکه می‌باشند [۳].

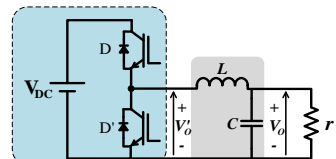
در سال‌های اخیر تپولوژی‌های چند سطحی زیادی مطرح شده‌اند و متناسب با آن تعداد زیادی تکنیک‌های مدولاسیون جدید بمنظور پشتیبانی از این رشد فراینده معرفی شده است. تکنیک‌های LS-PWM و PS-PWM که دارای منشاء سینوسی بوده و بعنوان یک راه حل ساده برای تولید سینکال‌های گیت در مبدل‌های چند سطحی محاسبه می‌شوند یکی از تکنیک‌های مدولاسیون استفاده شده در صنعت می‌باشد که به سادگی روش‌های مبتنی بر موج حامل بر می‌گردد [۳]. از دیگر روش‌های مدولاسیونی که بمنظور بهبود مشخصه‌های هارمونیکی معرفی شده و مبتنی بر آتالیز فوریه می‌باشند می‌توان به روش‌های SHE [۸] و SHM [۹] و تکنیک‌های مبتنی بر بهینه مدولاسیون عرض پالس [۱۰] اشاره نمود. از دیگر روش‌های مدولاسیون که دارای توانایی بکارگیری موثرتر درجهات آزادی مبدل‌های چند سطحی را دارد روش SVM می‌باشد [۱۱]. قابل ذکر است الگوریتم‌های مبتنی بر SVM چند سطحی خیلی در کاربردهای صنعتی بکار گرفته نشده‌اند. یک دلیل احتمالی استفاده از روش‌های PWM، سادگی آن‌ها می‌باشد که با کاربرد یک رفرنس و سینکال کریز و مقایسه کننده ساده قابل انجام است. (سادگی و هزینه کم) در حالی که به یک الگوریتم با حداقل سه مرحله نیاز دارد [۳].

هدف اصلی این مقاله یافتن یک تکنیک مدولاسیون موثر برای مبدل‌های چند سطحی DC-AC می‌باشد. مدلسازی و آنالیز مبدل‌های چند سطحی سه فازه مبتنی بر منبع ولتاژ در قالب سه مبدل buck چند سطحی مستقل و کاربرد معادلات پایه حاکم بر چنین مبدلی منجر به دستیابی به یک تکنیک مدولاسیون بهینه و موثر شده است. در این مقاله ضمن ارائه تکنیک مدولاسیون پیشنهادی با نام افست بهینه شده، عملکرد آن با تکنیک مدولاسیون افست ثابت که بر مبنای روش‌های مدولاسیون کریز

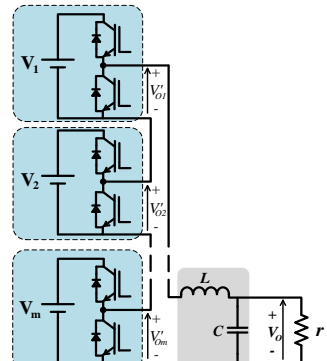
قابل ذکر است که مژوول‌های چند سطحی (MLM) سری شده در هر فاز می‌توانند خود ترکیبی چند سطحی از چند منبع ایزووله که با سوئیچ یا دیود به خروجی هر مژوول متصل می‌شوند، باشند.



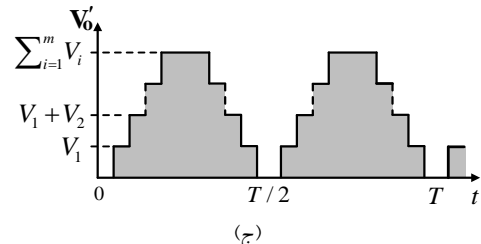
شکل ۲: (الف) شکل مداری اینورتر سه فازه ۲ سطحی ب) مبدل سه فازه چند سطحی دیفرانسیلی



(الف)



(ب)



(ج)

شکل ۱: (الف) کانورتر DC-DC معمول از نوع buck ب) کانورتر DC-DC که بخش ورودی آن توسعه داده شده است (ج) ولتاژ خروجی بخش مبدل توسعه داده شده بصورت چند سطحی

مبدل توسعه یافته شکل ۱-ب نیز با استفاده از روش‌های PWM چند سطحی مانند تکنیک سوئیچنگ LS-PWM [۳] و یا تکنیک سوئیچنگ فاندامتال (FFS) [۱۱] قادر به تولید ولتاژ چند سطحی با سطوح مثبت، مانند آنچه در شکل ۱-ج نشان داده شده است، در خروجی خود می‌باشد. با این تفاوت که ولتاژ ورودی به فیلتر پایین گذار V_o از حالت دو سطحی در مبدل buck معمول در شکل ۱-الف بصورت چند سطحی برای مبدل شکل ۱-ب تبدیل می‌شود. این امر ضمن کاهش اندازه فیلتر خروجی، فرکانس سوئیچنگ سوئیچ‌ها و تلفات را نیز کاهش می‌دهد. بنابراین می‌توان مبدل توسعه یافته نشان داده در شکل ۱-ب را بعنوان یک مبدل buck چند سطحی توصیف نمود که قادر به تولید شکل موج چند سطحی با اسکیل سینوسی با یک مقدار DC offset می‌باشد.

از ترکیب سه مبدل buck بصورت دیفرانسیلی مطابق شکل ۲-الف می‌توان به یک اینورتر سه فازه دست پیدا نمود. ولتاژ تحويلی به بار ناشی از تفاضل ولتاژ دو فاز می‌باشد که بدليل مساوی بودن مقدار DC برای تمام فازها، بدون مقدار متوسط می‌باشد. چنین ترکیبی را نیز می‌توان برای مبدل buck چند سطحی توصیف شده نیز متصور شد. با این تفاوت که منابع DC بکار رفته برای هر فاز بجزء منابع پایین ترین مژوول باید از هم ایزووله باشند. چنین مدلی در شکل ۲-ب نشان داده شده است.

۳- پیاده سازی تکنیک‌های مختلف مدولاسیون بر روی مبدل سه فازه

چندین تکنیک مدولاسیون برای مبدل‌های چند سطحی سه فازه معمول می‌باشد که از بین آن‌ها می‌توان به مدولاسیون سینوسی مبتنی بر سیگنال‌های حامل چند سطحی و SVM و اشاره نمود. روش‌های مبتنی بر سیگنال‌های حامل بدليل سادگی در اجرا متداول ترند ولی دارای ضعف SVM محدود بودن اندیس مدولاسیون می‌باشند. ولی مدولاسیون THIPWM و تکنیک تریتیک هارمونیک سوم (THIPWM) می‌توانند به اندیس مدولاسیون‌های بالاتر تا یک نیز دست پیدا کنند. در این بخش به معروفی روش مدولاسیون افست ثابت اجباری^۱ (FOM)، SVM و THIPWM می‌پردازیم. سپس با معروفی مدولاسیون پیشنهادی موسوم به تکنیک مدولاسیون افست بهینه^۲ (OOM)، تمامی تکنیک‌های موردن بحث از نظر تئوری و شیوه اجرا بر روی مبدل‌های چند سطحی سه فازه دیفرانسیلی، مورد ارزیابی قرار می‌گیرند.

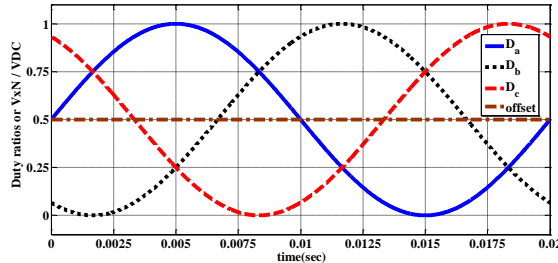
۳-۱- تکنیک مدولاسیون سینوسی با افست ثابت اجباری

مبدل سه فازه buck دیفرانسیلی نشان داده شده در شکل ۲-الف را در نظر بگیرید. این مبدل از سه چاپر مستقل تشکیل شده است. از آنجایی

^۱ - Fix offset modulation

^۲ - Optimum offset modulation

این روش را می‌توان برای تولید پالس سوئیچ‌ها با کاربرد یک سیگنال موج حامل برای مبدل دیفرانسیلی دو سطحی نشان داده شده در شکل ۲-الف و یا با کاربرد روش‌های چند سیگناله موج حامل مانند LS-PWM برای مبدل دیفرانسیلی چند سطحی نشان داده شده در شکل ۲-ب یکار برد.



شکل ۳: نسبت‌های وظیفه محاسبه شده از رابطه (۳) در روش مدولاسیون افست ثابت اجباری با حداقل اندیس مدولاسیون ($A=0.5$)

۲-۳- تکنیک مدولاسیون ترزیق هارمونیک سوم

با توجه به محدودیت اندیس مدولاسیون در روش‌های سینوسی SPWM و بمنظور افزایش بهره بری مبدل‌های سه فازه تکنیک ترزیق هارمونیک سوم معرفی شده است [۱۲]. در این روش بمنظور افزایش ضرب بجه استفاده از منابع طرف DC، در اندیس‌های مدولاسیون بالا، بجای استفاده از یک مرجع سینوسی برای مقایسه با شکل موج های متناظر در روش‌های مبتنی بر سیگنال حامل، از ترکیب یک شکل موج سینوسی فاندامنتال با یک مولفه از هارمونیک سوم آن استفاده می‌شود. بمنظور استفاده از این تکنیک مدولاسیون در مبدل سه فازه دیفرانسیلی مورد بحث، با اضافه نمودن یک مقدار ثابت برابر با دامنه شکل موج سینوسی فاندامنتال، مطابق رابطه ۶ نسبت‌های وظیفه سه فازه بدست می‌آید. معادله ۶ در واقع شکل تغییر یافته معادله ۳ می‌باشد که در آن فقط یک جمله با هارمونیک سوم اضافه شده است. نحوه اضافه نمودن این مولفه در شکل ۴-الف نشان داده شده است. در واقع با اضافه نمودن مولفه هارمونیک سوم به مولفه اصلی اجازه داده می‌شود تا با رعایت محدودیت نسبت‌های وظیفه بین ۰ و ۱ به میزان ۱۵ درصد افزایش یابد.

$$\begin{aligned} \frac{V_{aN}}{V_{DC}} &= D_a(t) = 1.155A \sin(\omega t) + 0.192A \sin(3\omega t) + A \\ \frac{V_{bN}}{V_{DC}} &= D_b(t) = 1.155A \sin(\omega t - \frac{2\pi}{3}) + 0.192A \sin(3\omega t) + A \\ \frac{V_{cN}}{V_{DC}} &= D_c(t) = 1.155A \sin(\omega t + \frac{2\pi}{3}) + 0.192A \sin(3\omega t) + A \\ \frac{V_{ab}}{V_{DC}} &= D_a(t) - D_b(t) = 1.155A \sqrt{3} \sin(\omega t + \frac{\pi}{6}) \\ 0 \leq D_{a,b,c}(t) &\leq 1 \quad \Rightarrow \quad A \leq 0.5 \end{aligned} \quad (6)$$

از آنجایی که ولتاژ خط در طرف بار از تفاضل دو ولتاژ فاز حاصل می‌گردد و با توجه به برابر بودن مقدار افست DC برای همه فازها و همچنین هم فاز و هم دامنه بودن مولفه هارمونیک سوم ترزیق شده به هر سه فاز، هیچ مقدار متوسط و یا هارمونیک سومی به بار اعمال نمی‌شود

که ولتاژ خط بار از تفاضل دو ولتاژ فاز حاصل می‌گردد و با توجه به برابر بودن مقدار افست DC برای همه فازها، هیچ مقدار متوسط به بار وارد نمی‌شود. یک راه حل ساده برای مدولاسیون، تولید سه PWM سینوسی مستقل با ۱۲۰ درجه شیفت در هر فاز می‌باشد. بمنظور استفاده از تکنیک مدولاسیون افست ثابت FOM می‌توان با اضافه نمودن یک مقدار ثابت برابر با دامنه شکل موج سینوسی مورد نظر، مطابق با رابطه ۳ به تولید سه شکل موج سینوسی در خروجی مبدل سه فازه نشان داده شده در شکل ۲-الف دست یافت.

$$\begin{cases} \frac{V_{aN}}{V_{DC}} = D_a(t) = A \sin(\omega t) + A \\ \frac{V_{bN}}{V_{DC}} = D_b(t) = A \sin(\omega t - \frac{2\pi}{3}) + A \\ \frac{V_{cN}}{V_{DC}} = D_c(t) = A \sin(\omega t + \frac{2\pi}{3}) + A \\ 0 \leq D(t) \leq 1 \quad \Rightarrow \quad A \leq 0.5 \end{cases} \quad (3)$$

$$D(t) = \frac{\sum_{i=1}^m \sum_{j=1}^{n_i} V_{ij} \times d_{ij}}{V_{DC}} \quad (4)$$

$$V_{DC} = \sum_{i=1}^m \sum_{j=1}^{n_i} V_{ij} \quad (5)$$

با توجه به مباحث مطرح شده در بخش ۲ و با مدل نمودن مبدل‌های سه فازه چند سطحی دیفرانسیلی عنوان سه مبدل DC به مبدل چند سطحی، رابطه (۳) را نیز می‌توان برای مبدل‌های چند سطحی سه فازه نیز در نظر گرفت. با مازولار بودن طرف DC مبدل‌های چند سطحی، نسبت های وظیفه مازول ها با هم متفاوت می‌باشند و نسبت وظیفه کل یعنی $D(t)$ مطابق رابطه ۴ حاصل جمع نسبت های وظیفه تمام مازول ها با هم سری شده در طرف DC می‌باشد. در (۴) V_{ij} ولتاژ منبع زام از مازول چند سطحی آن و d_{ij} نسبت وظیفه مربوط به این منبع می‌باشد. m تعداد مازول ها یا طبقات و n_i تعداد منابع موجود در مازول چند سطحی آن می‌باشد. همچنین ولتاژ V_{DC} در رابطه ۳ جمع جبری ولتاژ تمامی منابع DC ایزوله بکار رفته در تمام مازول های سری شده در یک فاز مطابق رابطه ۵ می‌باشد.

بر اساس محدودیت نسبت وظیفه بین ۰ و ۱ مقدار افست A به مقدار حداقل ۰/۵ محدود می‌شود. در این صورت حداقل دامنه ولتاژ خط که بر حسب V_{DC} نرمالیزه شده است به مقدار $0/86$ محدود می‌شود. واضح است که کم شدن حدود $139/4$ درصد از اندیس مدولاسیون عنوان یک عیب عمدی برای این تکنیک مدولاسیون مطرح می‌باشد. نسبت های وظیفه سه فازه با استفاده از روش افست ثابت اجباری طبق رابطه ۳ برای رسیدن به حداقل اندیس مدولاسیون در $A=0/5$ در شکل ۳ نشان داده شده است. همانگونه که مشاهده می‌شود شکل موج ها دارای مقدار DC ثابت برابر با $0/5$ می‌باشند. شکل موج های مرجع تولید شده با

سیکل نشان داده شده است [۱۴]. شکل موج های بدست آمده در این روش با آنچه که از طریق روش THIPWM حاصل شد دارای شباهت عمده با اندکی تفاوت در مولفه های هارمونیکی می باشد. این شکل موج های مرجع را همانند دو روش مدولاسیون قبل می توان برای تولید در مبدل های چند سطحی سه فازه دیفرانسیلی با استفاده از تکنیک های سوئیچنگ مبتنی بر موج حامل بکار برد.

۴-۳- تکنیک مدولاسیون پیشنهادی: افست بهینه

۱-۴-۳- نیاز به پیشنهاد یک تکنیک مدولاسیون جدید و کارآمد

رابطه (۳) یک افست ثابت برای روش FOM با کاهش حدود ۱۴ درصد در ضریب بهره لینک DC نشان می دهد. در حالیکه روش های مدولاسیون SVM و THIPWM افست های غیر ثابت متغیر با زمان برای دستیابی به حداکثر ضریب بهره معروفی می کنند. بنابراین جستجوی یک روش مدولاسیون با افست متغیر با زمان می تواند مفید واقع شود. یک ایده ممکن است این باشد که این روش مدولاسیون فرضی را با شروطی بهینه نمود. مزایای بکارگیری این افست متغیر با زمان بهینه به شروطی سازی و محدودیت های اعمالی و شرایط کنترلی بستگی دارد. برای مثال هنگامی که شکل موج افست کنترل می شود کاهش تلفات می تواند بعنوان یک هدف تعیین کننده بکار برود. بر همین اساس در ادامه یک روش مدولاسیون بهینه بر مبنای بهینه سازی و کنترل افست در مبدل سه فازه دیفرانسیلی مورد بحث بمنظور برآورده نمودن دو شرط افزایش ضریب اندیس مدولاسیون و کاهش تلفات سوئیچنگ ارائه می شود.

۲-۴-۳- پیشنهاد یک تکنیک مدولاسیون جدید افست بهینه

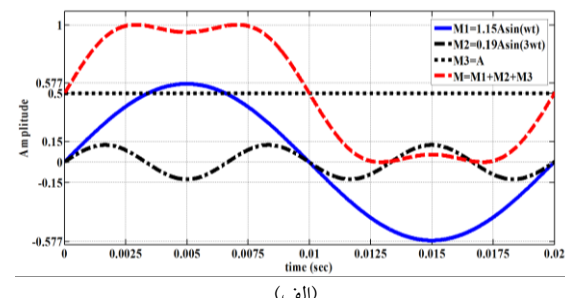
همانگونه که در بخش قبل ذکر شد کلید یافتن یک روش مدولاسیون بهینه، متغیر فرض نمودن مقدار افست و سپس کنترل آن با شروط مورد نظر می باشد. فرض کنید در رابطه ۳ بجای بخش افست $X(t)$ از یک مقدار نامشخص که نسبت به زمان متغیر است با نام $X(t)$ استفاده شده است. در اینصورت رابطه ۳ را می توان به شکل (۷) بازنویسی نمود. حاصل جمع سه رابطه اول در (۷) منجر به رابطه ۸ می شود که از آن مشخص است که $X(t)$ متناسب با متوسط نسبت های وظیفه در سه فاز می باشد.

$$\begin{cases} V_{aN} / V_{DC} = D_a(t) = A \sin(\omega t) + X(t) \\ V_{bN} / V_{DC} = D_b(t) = A \sin(\omega t - 2\pi/3) + X(t) \\ V_{cN} / V_{DC} = D_c(t) = A \sin(\omega t + 2\pi/3) + X(t) \end{cases} \quad (7)$$

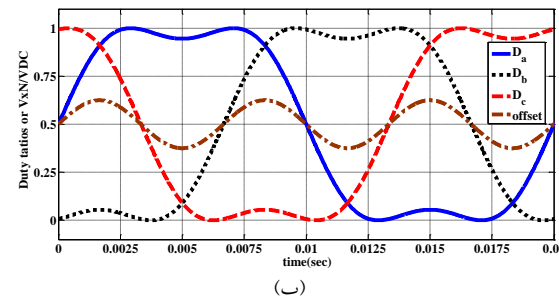
$$X(t) = \frac{D_a(t) + D_b(t) + D_c(t)}{3} = \frac{V_{aN}(t) + V_{bN}(t) + V_{cN}(t)}{3} \quad (8)$$

در صورت مینیمم سازی تابع $X(t)$ می توان مجموع تعداد سوئیچنگ ها را کنترل نمود که در این حالت تلفات سوئیچنگ نیز

که در این صورت ولتاژ های بار سینوسی خالص می باشند. با در نظر گرفتن $A=0.5$ بمنظور رسیدن به حداکثر ضریب بهره از رابطه (۶) ولتاژ های مرتع نرمالیزه شده (نسبت های وظیفه) جهت تولید در خروجی هر یک از فازها مبدل نسبت به نقطه N در شکل ۴ ب رای ایک سیکل در روش مدولاسیون THIPWM در شکل ۴-ب نشان داده شده است. پر واضح است که رابطه ۶ یک افست متغیر با ضابطه ای سینوسی نسبت به مقدار افست ثابت که در روش FOM بکار برده می شود نشان می دهد.

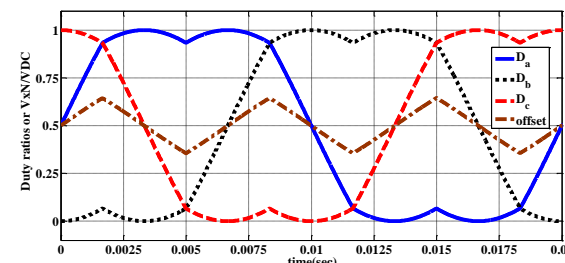


(الف)



(ب)

شکل ۴: تکنیک مدولاسیون THIPWM (الف) چگونگی تزریق هارمونیک سوم به ولتاژ فاندامنتال مرتع (ب) نسبت های وظیفه محاسبه شده از رابطه (۶) برای دستیابی به حداکثر اندیس مدولاسیون ($A=0.5$)



شکل ۵: ولتاژ های مرتع تولید شده با روش SVM برای دستیابی به حداکثر ضریب بهره در روش

۳-۳- تکنیک مدولاسیون مبتنی بر فضای برداری

یکی دیگر از روش های مدولاسیون که بمنظور پوشش دادن عیوب روش های معمول SPWM ارائه شده است روش مدولاسیون برداری می باشد که قادر به تولید حداکثر اندیس مدولاسیون می باشد. شاید بتوان مدولاسیون برداری را یکی از کارآمدترین روش های بهره برداری از مبدل های منبع ولتاژی سه فاز دانست. شکل موج های مرتع برای تولید حداکثر اندیس مدولاسیون در این روش مدولاسیون در شکل ۵ در یک

یک سیکل قدرت انجام پذیرد. حل مساله بهینه سازی (۹) بمنظور داشتن دقت بالا در ۴۰۰۰ نقطه از سیکل قدرت با پریود $T=0.02\text{sec}$ انجام شده است. نسبت‌های وظیفه محاسبه شده برای یک سیکل قدرت با فرکانس ۵۰Hz و برای رسیدن به حداکثر بهره در شکل ۶ نشان داده شده است. نتایج حاصل از بهینه سازی و کنترل نسبت‌های وظیفه بسیار قابل توجه می‌باشد زیرا مشخص است که مقدار نسبت وظیفه محاسبه شده در هر فاز برای یک سوم از سیکل قدرت صفر می‌باشد. این امر حاصل کنترل مجموع نسبت‌های وظیفه در سه فاز بمنظور مینیمم سازی سازی داشتن کمترین میزان سوئیچنگ در سیکل قدرت می‌باشد. بدین ترتیب در هر لحظه حداکثر دو فاز داری نسبت وظیفه غیر صفر می‌باشد و بصورت کلی می‌توان گفت که در مجموع سه فاز، به میزان ۳۳ درصد از پریود قدرت تغییر وضعیت سوئیچنگ وجود ندارد. با این حساب تلفات سوئیچنگ به میزان چشمگیری کاهش پیدا می‌کند. این امر یک مزیت عمده در روش مدولاسیون پیشنهادی نسبت به دیگر روش‌های مدولاسیون ضمن رسیدن به حداکثر ضریب بهره طرف DC می‌باشد.

۴- پیاده سازی عملی

توبولوژی‌های متعدد و زیادی برای مبدل‌های چند سطحی مطرح می‌باشد که از گوناگونی و مشخصه‌های مختلفی برخوردار هستند. بر اساس کلاسه بنده مبدل‌های چند سطحی مبتنی بر منبع ولتاژ با ساختارهای کاهش یافته که در [۱۲] ارائه شده است، ساختار کاهش یافته B2 بعنوان بهینه‌ترین ساختار از نظر تعداد سوئیچ و مدارات گیت درایو معرفی شده است. ساختارهای نامتقارن نسبت به انواع متقارن خود قادر به تولید سطوح بیشتر با تعداد عناصر کمتری می‌باشد ولی در عوض دارای پیچیدگی‌های کنترلی بیشتری بوده و پیاده‌سازی روش‌های مدولاسیون برای آنها پیچیده تر خواهد بود. بر این اساس به انواع اثبات کارایی روش مدولاسیون ارائه شده در این مقاله، مبدل چند سطحی مورد مطالعه از نوع ساختارهای نامتقارن و بر مبنای ساختار کاهش یافته B2 انتخاب شده است. مقایسه ساختارهای استانداردی مانند CHB، MMC، FC با ساختار B2 (که دارای تعدادی سوئیچ‌های دو طرفه bi-directional FC می‌باشد) نشان می‌دهد که ساختارهای متقاول به تعداد بیشتری سوئیچ و گیت درایو نیاز دارند [۱۲] جدول ۲ مبدل‌های متقاول با تعداد ۱۵ سطح را با مبدل ۱۶ سطحی با ساختار B2 مقایسه می‌کند. در ادامه به طراحی یک مبدل ۱۶ سطحی سه فاز دیفرانسیلی از این ساختار می‌پردازیم.

جدول ۲: مقایسه مبدل‌های متقاول ۱۵ سطحی با مبدل ۱۶ سطحی با

ساختار کاهش یافته B2

B2	FC	CHB	MMC	مبدل‌ها
۴	۲۸	۲۸	۲۸	سوئیچ‌های یکطرفه
۴	۰	۰	۰	سوئیچ‌های دوطرفه
۸	۲۸	۲۸	۲۸	مدارات گیت درایو
۸	۱۵	۱۴	۱۴	منابع تغذیه ایزوله

حداقل خواهد شد. همچنین با مینیمم شدن (۱۰) سهم بیشتری از نسبت‌های وظیفه در هر فاز به جمله سینوسی داده می‌شود که نتیجه آن افزایش ضریب بهره طرف DC می‌باشد. بدین ترتیب تابع هدف مساله بهینه سازی، مطابق رابطه (۹)، مینیمم نمودن جمع ولتاژهای سه فازه خروجی مبدل نسبت به پلاریته منفی پایین ترین منبع DC یعنی N در شکل ۲ و یا کنترل مجموع نسبت‌های وظیفه در سه فاز بمنظور مینیمم سازی می‌باشد. شروط این بهینه سازی تولید ولتاژهای سینوسی سه فاز در خروجی مبدل و داشتن ماکریم دامنه ولتاژ خروجی مطابق با (۱۰) می‌باشد.

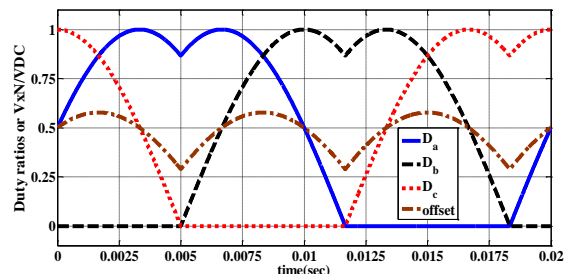
$$\text{Minimize } Z(t) = D_a(t) + D_b(t) + D_c(t) \quad (۹)$$

$$\begin{cases} D_a(t) - D_b(t) = m \sin(\omega t + \frac{\pi}{6}) \\ D_a(t) - D_c(t) = m \sin(\omega t - \frac{\pi}{2}) \\ 0 \leq D_j(t) \leq 1, \quad j = a, b, c \\ m = \sqrt{3}A, \quad A \geq 0.5 \end{cases} \quad (۱۰)$$

جدول ۱: پارامترهای وابسته و مقادیر بهینه شده حاصل از حل مساله بهینه سازی

در ۸ نقطه از پریود T

X(t) A	D _c (t) A	D _b (t) A	D _a (t) A	زمان (ثانیه)
۰/۸۶۶	۱/۷۳	۰	۰/۸۶۶	۰
۰/۹۴۷	۱/۲۲۴	۰	۱/۶۷۳	۰/۰۰۲۵
۰/۵	۰	۰	۱/۵	۰/۰۰۵
۰/۹۴۷	۰	۱/۲۲۴	۱/۶۷۳	۰/۰۰۷۵
۰/۸۶۶	۰	۱/۷۳	۰/۸۶۶	۰/۰۱
۰/۷۰۷	۰/۴۴۹	۱/۶۷۳	۰	۰/۰۱۲۵
۱	۱/۵	۱/۵	۰	۰/۰۱۵
۰/۷۰۷	۱/۶۷۳	۰/۴۴۹	۰	۰/۰۱۷۵



شکل ۶: نسبت‌های وظیفه سه فازه محاسبه شده در تکیک مدولاسیون افست بهینه در حداکثر اندیس مدولاسیون

مساله بهینه سازی ۹ برای هر لحظه از زمان t دارای جوابی منفرد می‌باشد که باید برای تعدادی نقطه از سیکل فرکانس قدرت f_p حل شود. پارامترهای وابسته و مقادیر بهینه شده در حل مساله مینیمم سازی (۹) برای تعداد ۸ نقطه از سیکل قدرت با پریود T در جدول ۱ آورده شده است. بمنظور داشتن رزولوشن مناسب برای نسبت‌های وظیفه محاسبه شده، کافیست تا برای یکبار مساله بهینه سازی برای تعداد نقاط کافی در

یک نمونه آزمایشگاهی از مبدل ۱۶ سطحی سه فازه نشان داده شده در شکل ۷ جهت اجرا تکنیک‌های مدولاسیون مورد بحث و مقایسه عملکرد آن‌ها پیاده سازی شده است. در مدار قدرت این مبدل که در شکل ۸ نشان داده شده است از ۱۲ منبع تغذیه ایزوله آزمایشگاهی به عنوان منابع DC ورودی در سه فاز با دو طبقه در هر فاز، استفاده شده است، تعداد کل سوئیچ‌های بکار رفته بالا حاظ نمودن دو سوئیچ در سوئیچ‌های بدون جهت، ۳۶ عدد به همراه تعداد ۲۴ عدد مدار گیت درایو ایزوله می‌باشد. با توجه به بالا بودن تعداد سطوح خروجی، یک مجموعه L-C سه فاز کوچک به عنوان فیلتر خروجی بکار رفته است و از یک موتور القایی بصورت عنوان بار استفاده شده است. این موتور بصورت بدون بار بکار رفته است. مسلماً با وجود پایین بودن سطوح ولتاژ کاربردی که از منابع تغذیه آزمایشگاهی حاصل می‌شود موتور با سرعت کمتر از سرعت نامی و در توان مصرفی حدود ۲۰۰ کار خواهد کرد. پردازنده بکار رفته جهت محاسبه و تولید عرض پالس هر یک از سوئیچ‌ها از نوع DSP با شماره EZDSP TMS320F28335 می‌باشد. سایر جزئیات این نمونه آزمایشگاهی در جدول ۴ آورده شده است.

جدول ۳: وضعیت‌های سوئیچ‌ینگ مبدل ۱۶ سطحی نشان داده شده در شکل ۷

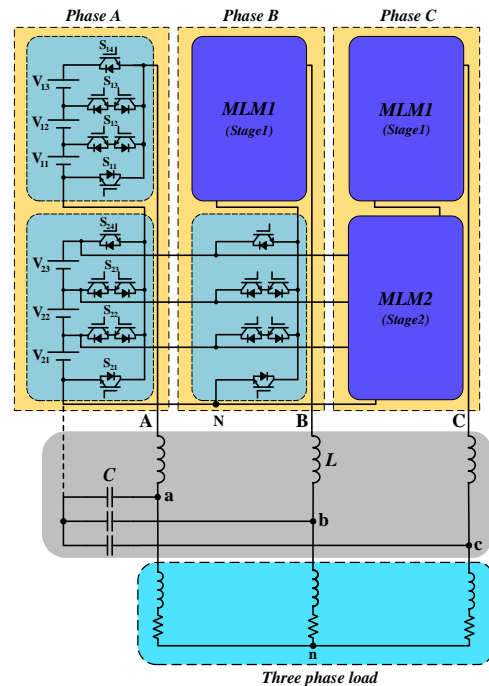
وضعیت سوئیچ‌ینگ								$\frac{V_{AN}}{V_{dc}}$
طبقه اول				طبقه دوم				
S_{11}	S_{12}	S_{13}	S_{14}	S_{21}	S_{22}	S_{23}	S_{24}	
۱	۰	۰	۰	۱	۰	۰	۰	۰
۰	۱	۰	۰	۱	۰	۰	۰	۱
۰	۰	۱	۰	۱	۰	۰	۰	۲
۰	۰	۰	۱	۱	۰	۰	۰	۳
۱	۰	۰	۰	۰	۱	۰	۰	۴
N	N	N	N	N	N	N	N	N
۰	۰	۱	۰	۰	۰	۰	۱	۱۴
۰	۰	۰	۱	۰	۰	۰	۱	۱۵

جدول ۴: مشخصات نمونه آزمایشگاهی از مبدل ۱۶ سطحی سه فازه نامتقارن

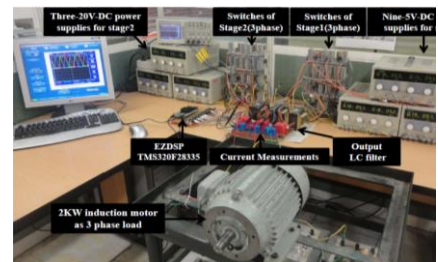
تعداد	مشخصه	عنوان	ردیف
۳۶	IGBT- BUP314, 35 A, 1200 V	سوئیچ	۱
۲۴	TLP 250, ± 30 V, 1 A	مدار گیت درایو	۲
۱	EZDSP TMS320F28335	پردازنده	۳
--	LS-PWM	تکنیک سوئیچ‌ینگ	۴
--	3500Hz	فرکانس کریز	۵
۹	$V_{11}=V_{12}=V_{13}=V_{dc}=5V$	۱ طبقه ولتاژ	۶
۳	$V_{21}=V_{22}=V_{23}=4V_{dc}=20V$	۲ طبقه منابع تغذیه	
۱	موتور القایی	بار	۷
۳	20 μ F	LC خازن فیلتر	۸
۳	2mH	LC سلف فیلتر	۹
--	50Hz	فرکانس فاندamentال	۱۰

۴-۱- پیاده سازی مبدل سه فاز دیفرانسیلی B2

شکل ۷ یک مبدل ۱۶ سطحی طراحی شده بر اساس ساختار B2 نشان می‌دهد. هر فاز از این مبدل دارای دو مازول چندسطحی با سه منبع مساوی بهمراه دو سوئیچ بدون جهت و دو سوئیچ تک جهت در هر مازول می‌باشد. بمنظور تولید تعداد سطوح بیشتر ولتاژ، منابع طبقه دوم نسبت به طبقه اول بصورت نامتقارن با ضربی ۴ در نظر گرفته شده است. طبقه اول در هر فاز مبدل قادر به تولید ۴ سطح از ۰ تا $3V_{dc}$ با پلهای V_{dc} می‌باشد. طبقه دوم نیز همین تعداد سطوح را از ۰ تا $12V_{dc}$ با پلهای $4V_{dc}$ تولید می‌کند. بدین ترتیب در مجموع ۱۶ حالت مختلف از سطوح ولتاژ پدید می‌آید. وضعیت سوئیچ‌های هر فاز از این مبدل متناسب با هر سطح در جداول ۳ آورده شده است. لازم به ذکر است بدليل اتصال سر منفی خروجی طبقه دوم در هر سه فاز به هم در نقطه N، منابع این طبقه می‌توانند بصورت مشترک برای هر سه فاز استفاده شوند ولی طبقه اول در هر فاز نیاز به سه منبع DC مجزا دارد. بنابراین تعداد کل منابع مورد نیاز در این طرح ۱۲ عدد خواهد بود.

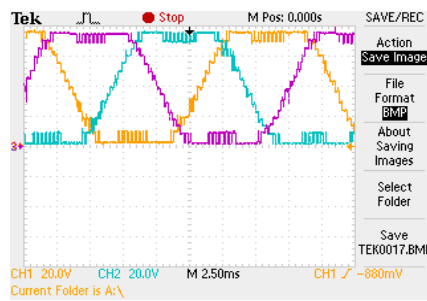


شکل ۷: کانورتر سه فازه ۱۶ سطحی با استفاده از ترکیب دیفرانسیلی از ساختار B2 نامتقارن

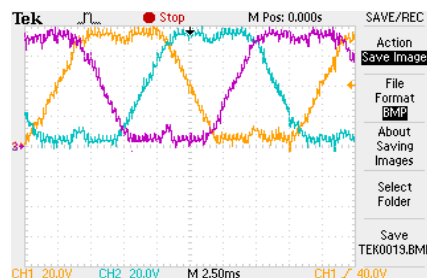


شکل ۸: نمونه آزمایشگاهی پیاده سازی شده از مبدل ۱۶ سطحی سه فازه بر اساس آنچه در شکل ۷ نشان داده شده است

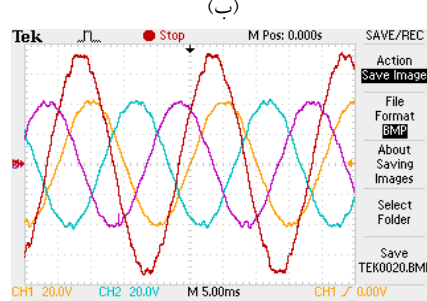
تصویر از شکل موج‌های سه فازه خروجی مبدل نسبت به نقطه N (V_{AN}, V_{BN}, V_{CN})، ولتاژهای سه فازه خروجی مبدل پس از عبور از سلف نسبت به نقطه N (V_{aN}, V_{bN}, V_{cN}) و ولتاژهای سه فازه اعمالی به بار ($V_{ab}, V_{an}, V_{bn}, V_{cn}$) و ولتاژ فاز به فاز بار (V_{ab}) به ترتیب می‌باشد. شکل موج‌های نشان داده شده در قسمت (د) هر شکل ولتاژهای خروجی دو طبقه موجود در فاز A به همراه مجموع آن‌ها می‌باشد.



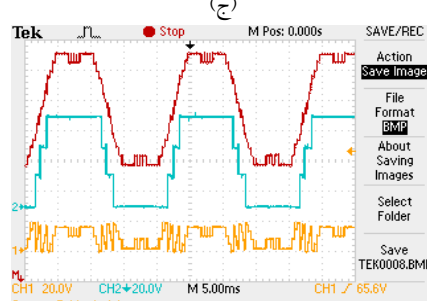
(الف)



(ب)



(ج)

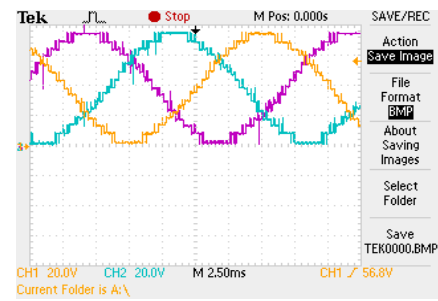


(د)

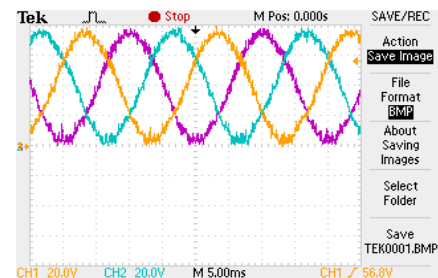
شکل ۱۰ : نتایج عملی با کاربرد تکنیک مدولاسیون THIPWM
 (الف) (ب) (ج) (د) ترکیب V_{an}, V_{bn}, V_{cn}
 ولتاژ خروجی مبدل V_{AN} ناشی از ولتاژهای دو طبقه در فاز A

۴-۲-پیاده سازی تکنیک‌های مدولاسیون

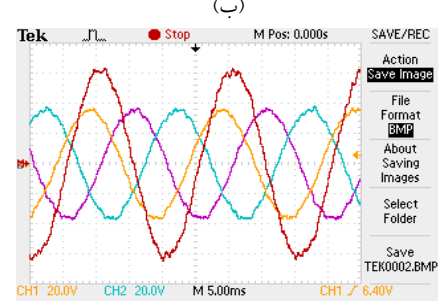
چهار روش مدولاسیون مورد بحث با کاربرد تکنیک سوئیچنگ LS-PWM بر روی نمونه آزمایشگاهی پیاده سازی شده است. با در نظر گرفتن عالم نشان داده شده در شکل ۷، شکل‌های ۹-۱۲ رفتار روش‌های مدولاسیون مورد بررسی را نشان می‌دهند. هر شکل شامل چهار



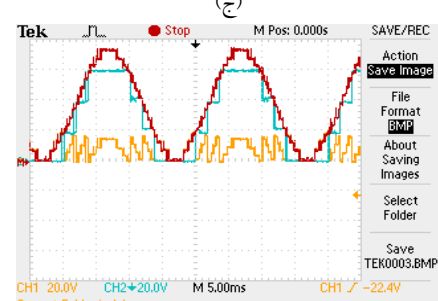
(الف)



(ب)



(ج)



(د)

شکل ۹: نتایج عملی با کاربرد تکنیک مدولاسیون افست ثابت اجباری بر روی مبدل کلاس B2 (شکل ۸(الف) (ب) (ج) (د)) ترکیب V_{an}, V_{bn}, V_{cn} ناشی از ولتاژهای دو طبقه در فاز A



شکل ۱۲ : نتایج عملی با کاربرد تکنیک مدولاسیون OOM
 (الف) V_{ab} , V_{an} , V_{bn} , V_{cn} (ب) V_{ab} , V_{an} , V_{bn} , V_{cn} (ج) V_{ab} , V_{an} , V_{bn} , V_{cn} (د) ترکیب ولتاژ خروجی مبدل V_{AN} ناشی از ولتاژهای دو طبقه در فاز A

است که شکل های ۹-ب، ۱۰-ب، ۱۱-ب و ۱۲-ب ولتاژهای فیلتر شده پس از عبور از سلف L را نشان می دهند. تمام چهار تکنیک بخوبی موفق تولید ۱۶ سطح خروجی شده اند.

- مقایسه تلفات سوئیچنگ

در جدول ۵ تعداد قطع و وصل شدن سوئیچنگ های طبقه اول و دوم به همراه مجموع آن ها برای یک سیکل قدرت با بکارگیری روش های مدولاسیون مورد بررسی آورده شده است. متناسب با این تعداد قطع و وصل ها، فرکانس سوئیچنگ متوسط نیز محاسبه گردیده است.

شکل ۱۱ : نتایج عملی با کاربرد تکنیک مدولاسیون SVM
 (الف) V_{ab} , V_{an} , V_{bn} , V_{cn} (ب) V_{ab} , V_{an} , V_{bn} , V_{cn} (ج) V_{ab} , V_{an} , V_{bn} , V_{cn} (د) ترکیب ولتاژ خروجی مبدل V_{AN} ناشی از ولتاژهای دو طبقه در فاز A

-۳- مقایسه و بحث بر روی نتایج خروجی

شکل های ۹ تا ۱۲ نتایج عملی از پیاده سازی تکنیک های مدولاسیون مورد بحث بر روی مبدل طراحی شده نشان می دهند، این تکنیک ها از نظر مواردی که در ادامه آورده خواهد شد قابل مقایسه می باشند.

- تعداد سطوح ولتاژ خروجی

شکل های ۹-الف، ۱۰-الف، ۱۱-الف و ۱۲-الف بطور واضح نشان دهنده تولید ۱۶ سطح DC در خروجی مبدل می باشند. این در حالی

می‌کند و ۵/۶۷٪ از کل توان سهم طبقه اول می‌باشد که با فرکانس سوئیچنگ بالاتر کار می‌کند. بدین ترتیب توزیع توان و فرکانس سوئیچنگ بصورت متناسب بین دو طبقه برای تمام روش‌های مدولاسیون پیاده سازی شده، انجام شده است.

- ولتاژ‌های افست

از شکل‌های ۹-ج، ۱۰-ج، ۱۱-ج و ۱۲-ج بطور واضح مشخص است که ولتاژ‌های افست در شکل موج‌های الف و ب از شکل‌های ۹ تا ۱۲ در ولتاژ فاز و خط ظاهر نمی‌شود. در واقع هر چهار تکنیک مدولاسیون موفق به اعمال ولتاژ‌های AC به بار شده‌اند. شکل موج‌های افست نرماییزه شده حاصل از چهار تکنیک مدولاسیون، در شکل ۱۳-الف نشان داده شده است. همانگونه که مشاهد می‌شود بجزء تکنیک FOM سه تکنیک دیگر دارای افست متغیر با زمان می‌باشند و این در حالی است که مقدار متوسط شکل موج‌های افست برای روش‌های SVPWM، THIPWM، FOM برای با ۰/۵ می‌باشد در حالی این مقدار برای روش مدولاسیون افست بهینه کمتر از بقیه و برابر با ۰/۰۷۷۵ می‌باشد. این امر خود نشان دهنده‌ی بهینه بودن روش مدولاسیون پیشنهادی می‌باشد زیرا کمتر بودن مقدار متوسط افست به معنی سهم بیشتری در اندازه ولتاژ‌های سینوسی خروجی می‌باشد.

- ولتاژ‌های common mode

شکل موج ولتاژ‌های common mode در خروجی مبدل، حاصل از نتایج عملی برای چهار تکنیک مدولاسیون در شکل ۱۳-ب نشان داده شده است. ولتاژ common mode تحت عنوان ولتاژ مشترکی که بر روی ترمینال سه فاز خروجی مبدل نسبت به نقطه N ظاهر می‌شود تعریف SVPWM [۱۵]. در حالی که دو تکنیک مدولاسیون THIPWM مداری ولتاژ‌های common mode تقریباً مشابه با مقدار متوسط برابر می‌باشند، تکنیک افست بهینه از شکل موج ولتاژ common mode با شکل متفاوت و مقدار متوسط کمتر نسبت به بقیه تکنیک‌ها برخوردار است.

- ضریب بهره DC

مجموع ولتاژ منابع در طرف DC برابر با ۷۵ ولت می‌باشد. ضریب بهره لینک DC (مقدار فاندامنتال ولتاژ خط به ولتاژ لینک DC) برای چهار تکنیک مدولاسیون بررسی شده در جدول ۷ آورده شده است. شکل ۹-ج حداکثر ولتاژ AC مدوله شده بر روی بار با کاربرد تکنیک افست ثابت ۶۲/۴ ولت نشان می‌دهد که معادل ضریب بهره ۸۳/۲ درصد می‌باشد. شکل ۱۰-ج و ۱۱-ج نشان دهنده حداکثر فاندامنتال ولتاژ خط و ضریب بهره DC، ۷۱/۵ ولت و ۹۵/۳ درصد برای تکنیک THIPWM و ۷۳ ولت و ۹۷/۳ درصد برای تکنیک SVM به ترتیب می‌باشند. ماکریم ولتاژ خط برای تکنیک مدولاسیون افست بهینه بیش از سایر تکنیک‌های مورد بحث می‌باشد که این امر نشان دهنده بهبود ضریب بهره DC تا ۹۸ درصد می‌باشد.

جدول ۵: مقایسه تعداد سوئیچنگ‌ها و فرکانس سوئیچنگ متوسط برای تکنیک‌های مدولاسیون مورد بررسی

OOM	SVM	THI	FOM	تکنیک مدولاسیون
۱۷۵	۲۵۴	۲۶۲	۲۷۰	تعداد سوئیچنگ
۱۲	۱۲	۲۰	۴۴	
۱۸۷	۲۶۶	۲۸۲	۳۱۴	
۸/۷۵	۱۲/۷	۱۳/۱	۱۳/۵	فرکانس سوئیچنگ (kHz)
۰/۶	۰/۶	۱	۲/۲	
۹/۳۵	۱۳/۳	۱۴/۱	۱۵/۷	
مجموع				

همانگونه که از جدول ۵ پیداست بدليل تعداد زیاد عمل سوئیچنگ در هر سیکل و نداشتن هیچ عمل سوئیچنگ در یک سیکل قدرت (وضعیت صفر) در روش مدولاسیون OOM، تعداد مجموع سوئیچنگ‌ها و فرکانس سوئیچنگ مجموع کمتر از ۶۶ درصد از دیگر روش‌های مدولاسیون مورد بررسی می‌باشد. این امر بدليل تعداد سوئیچنگ زیاد در وضعیت صفر برای دیگر روش‌های مدولاسیون می‌باشد.

- توزیع ولتاژ/توان

بطور کلی در مبدل‌های چند سطحی با ساختارهای نامتقارن مساله تقسیم ولتاژ و توان بصورت نامساوی بین مدول‌ها وجود دارد و این موضوع ریشه در ذات چنین مبدل‌هایی دارد. اصولاً بین میزان توزیع توان و ولتاژ طبقه رابطه‌ای مستقیم وجود دارد. مبدل انتخاب شده در این مقاله بمنظور پیاده سازی تکنیک‌های مدولاسیون مورد بررسی نیز از نوع نامتقارن با تعداد سوئیچ کمتر (کاهش یافته) نسبت به انواع متقاضان می‌باشد [۱۲]. در این مبدل ولتاژ و توان در طبقه دوم بالاتر از طبقه اول می‌باشد. در جدول ۶ متوسط جریان و توزیع توان تمامی منابع و طبقات در یک فاز آورده شده است

جدول ۶: جریان متوسط و توزیع توان منابع تغذیه در یک فاز از مبدل ۱۶

سطوحی سه فازه

پارامترها	جریان متوسط (A)	ولتاژ منبع (V)	توان متوسط (W)	توزیع توان (%)
طبقه اول	V_{11}	۵	۰/۵۸	۲/۹
	V_{12}	۵	۰/۷۸	۳/۹
	V_{13}	۵	۰/۵۸	۲/۹
طبقه دوم	V_{21}	۱۵	۱/۹۴	۹/۷
	V_{22}	۲۰	۲/۶۵	۵۳
	V_{23}	۲۰	۲/۶۵	۵۵/۶
	مجموع	۶۰	۸/۰۸	۱۶۱/۶

همانگونه که مشاهده می‌شود ۹۴/۳۳٪ کل توان تامینی مربوط به سه منبع موجود در طبقه دوم می‌باشد که با فرکانس سوئیچنگ پایین کار

۵- نتیجه گیری

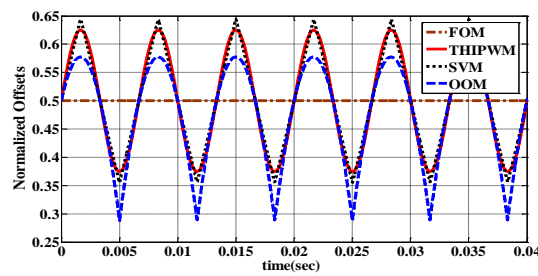
در این مقاله به آنالیز و مدل سازی مبدل‌های سه فازه چند سطحی تحت عنوان سه مبدل DC-DC چند سطحی مجزا برای تعیین معادلات اساسی مبدل buck به آن‌ها پرداختیم. نشان داده شد که شکل موج افست نقش مهمی در تکنیک‌های مدولاسیون بازی می‌کند بطوری که اگر بتوان این پارامتر را بجای فرض مقدار ثابت با فرض متغیر با زمان در نظر گرفت و آنرا با شروطی بهینه کنترل نمود می‌توان به یک تکنیک مدولاسیون جدید و کارآمدی دست پیدا نمود. این تکنیک مدولاسیون موثر را مدولاسیون افست بهینه نام‌گذاری کردیم که قابل پیاده سازی یر روی تمامی مبدل‌های DC-AC سه فاز دو سطحی و چند سطحی مقارن و نامقارن با ساختار دیفرانسیلی می‌باشد. از جمله مزایای این روش مدولاسیون می‌توان به اندیس مدولاسیون حداکثری، کاهش تلفات سوئیچنگ، افزایش راندمان ضمن داشتن سادگی در اجرا و کم بودن حجم محاسبات اشاره نمود. به منظور مقایسه جامع دیگر روش‌های مدولاسیون مشابه، دو روش مدولاسیون SVM و THIPWM به همراه روش مدولاسیون افست ثابت و روش پیشنهادی بر روی یک نمونه کانورتر ۱۶ سطحی سه فازه با ساختار نامقارن پیاده سازی شد. نتایج عملی حاکی از بهینه بودن تکنیک مدولاسیون پیشنهادی برای کانورترهای چند سطحی می‌باشد.

جدول ۷: مقایسه پارامترهای خروجی کانورتر ۱۶ سطحی حاصل از نتایج عملی

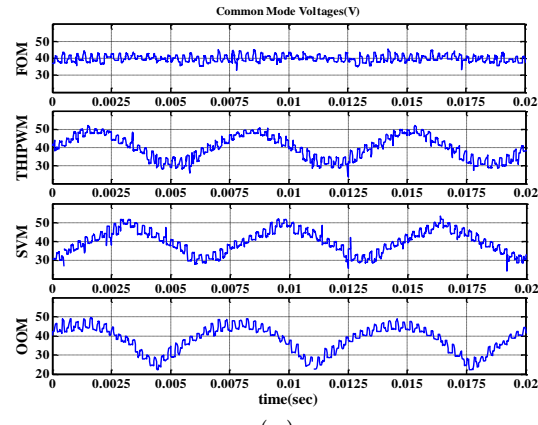
ضریب DC بهره	THD (%)		ولتاژ فاندامنتال	تکنیک مدولاسیون
	V_{ab}	I_a		
۸۳/۲	۴/۲	۵/۲	۶۲/۴	FOM
۹۵/۳	۵/۱	۶/۲	۷۱/۵	THIPWM
۹۷/۳	۵/۶	۵/۳	۷۳/۰	SVM
۹۸/۰	۲/۷	۳/۸	۷۳/۵	OOM

- اعوچاج

در جدول ۷ مقدار THD ولتاژ خروجی بر روی بار برای تمام چهار روش مدولاسیون مورد بحث آورده شده است. همچنین آنالیز هارمونیکی آن‌ها در شکل ۱۴ نشان داده شده است. پیاداست که روش مدولاسیون افست بهینه بزرگترین مقدار فاندامنتال بهمراه کمترین مقدار THD را ارائه می‌دهد.

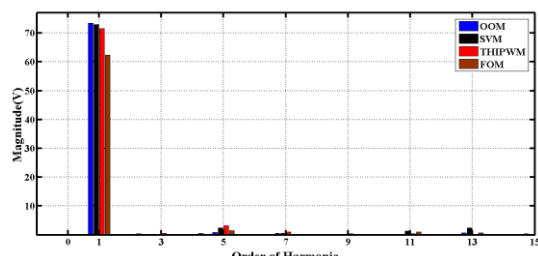


(الف)



(ب)

شکل ۱۳: مقایسه چهار تکنیک مدولاسیون (الف) افست‌های نرمالیزه شده
ب) ولتاژ‌های common mode حاصل نتایج عملی



شکل ۱۴: آنالیز هارمونیکی ولتاژ‌های خروجی بر روی بار (V_{ab}) حاصل از نتایج عملی

مراجع

- [9] J. Napoles, A. J. Watson, J. J. Padilla, J. I. Leon, L. G. Franquelo, P. W. Wheeler, M. A. Aguirre, "Selective Harmonic Mitigation Technique for Cascaded H-Bridge Converters With Nonequal DC Link Voltages," *IEEE Trans. Ind. Electron.*, vol. 60, no. 5, pp. 1963–1971, May. 2013.
- [10] A. Edpuganti, A. K. Rathore, "Fundamental Switching Frequency Optimal Pulsewidth Modulation of Medium-Voltage Nine-Level Inverter," *IEEE Trans. Ind. Electron.*, vol. 62, no. 7, pp. 4096–4104, Jul. 2015.
- [11] Y. Deng, K. H. Teo, C. Duan, T. G. Habetler, R. G. Harley, "A Fast Generalized Space Vector Modulation Scheme for Multilevel Inverters," *IEEE Trans. Power Electron.*, vol. 29, no. 10, pp. 5204–5217, Oct. 2014.
- [12] M. J. Mojibian and M.T.Bina, "Classification of multilevel converters with a modular reduced structure: implementing a prominent 31-level 5 kVA class B converter," *IET Power Electron.*, vol. 8, no. 1, pp. 20–32, Jan. 2015.
- [13] B. Urmila, D. Subbarayudu, "Multilevel Inverters: A comparative study of pulse width modulation techniques," *International Journal of Scientific & Engineering Research*, vol. 1, no. 3, pp. 1-5, 2010.
- [14] R.S. Kanchan, M.R. Baiju, K.K. Mohapatra, P.P. Ouseph and K. Gopakumar, "Space vector PWM signal generation for multilevel inverters using only the sampled amplitudes of reference phase voltages," *IET Electric Power Application*, vol. 152, no. 2, pp. 297 – 309, 2005.
- [15] S. Karugaba, A. Muetze, O. Ojo, "On the Common-Mode Voltage in Multilevel Multiphase Single- and Double-Ended Diode-Clamped Voltage-Source Inverter Systems," *IEEE Trans. Ind. Application.*, vol. 48, no. 6, pp. 2079–2091, Nov- Dec. 2012.
- [1] L. G. Franquelo, J. Rodriguez, J. I. Leon, S. Kouro, R. Portillo, and M. A. M. Prats, "The age of multilevel converters arrives," *IEEE Ind.Electron.*, vol. 2, no. 2, pp. 28–39, Jun. 2008.
- [2] J. Rodriguez, L. G. Franquelo, S. Kouro, J. I. Leon, R. C. Portillo, M. A. M. Prats, and M. A. Perez, "Multilevel converters: An enabling technology for high-power applications," *Proc. IEEE*, vol. 97, no. 11, pp. 1786–1817, Nov. 2009.
- [3] S. Kouro, M. Malinowski, K. Gopakumar, J. Pou, L. G. Franquelo, "Recent advances and industrial applications of multilevel converters," *IEEE Trans. Ind. Electron.*, vol. 57, no. 8, pp. 2553-2580, Agu. 2010.
- [4] G. P. Adam, I. A. Abdelsalam, K. H. Ahmed, B. W. Williams, "Hybrid Multilevel Converter With Cascaded H-bridge Cells for HVDC Applications: Operating Principle and Scalability," *IEEE Trans. Power Electron.*, vol.30, no.1, pp. 65-77, Jan. 2015.
- [5] J. Kolb, F. Kammerer, M. Gommeringer, M. Braun, "Cascaded Control System of the Modular Multilevel Converter for Feeding Variable-Speed Drives," *IEEE Trans. Power Electron.*, vol.30, no.1, pp. 349-357, Jan. 2015.
- [6] M. R. Islam, Y. Guo, J. Zhu, "A High-Frequency Link Multilevel Cascaded Medium-Voltage Converter for Direct Grid Integration of Renewable Energy Systems," *IEEE Trans. Power Electron.*, vol.29, no.8, pp. 4167-4182, Aug. 2014.
- [7] J. Liu, K. W. E. Cheng, Y. Ye, "A Cascaded Multilevel Inverter Based on Switched-Capacitor for High-Frequency AC Power Distribution System," *IEEE Trans. Power Electron.*, vol.29, no.8, pp. 4219-4230, Aug. 2014.
- [8] M. S. A. Dahidah, G. Konstantinou, V. G. Agelidis, "A Review of Multilevel Selective Harmonic Elimination PWM: Formulations, Solving Algorithms, Implementation and Applications," *IEEE Trans. Power Electron.*, vol. 30, no. 8, pp. 4091-4106, Aug. 2015.